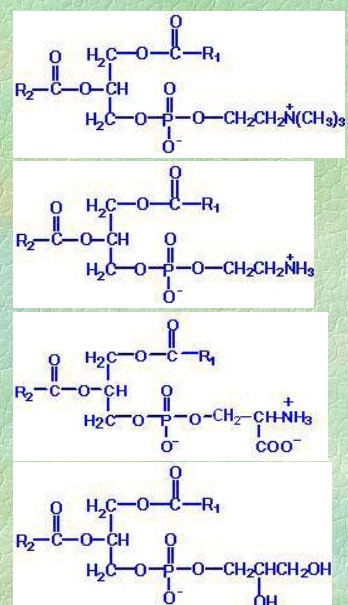


Liposzómák előállítási módjai

Dr. Voszka István

- fejcsoportok
- nettó töltés nélkül (PC, PE)
- negatív (PS, PG)
- pozitív (gangliozid, mesterséges lipidek)
 - ↓
 - 10-30 % arányban
- hidrofil molekulák
bezárási hatásfoka nő
- sejtekbe való felvétel
hatásfoka nő
- élettartam csökken



A felépítő lipidek

a) foszfolipidek

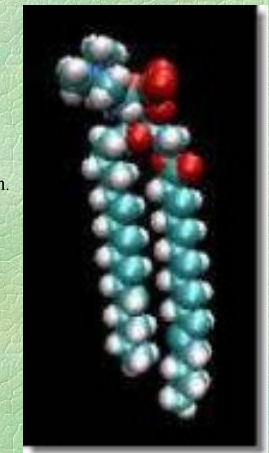
- a zsírsavlánc tulajdonságai befolyásolják a fázisátalakulást:

hosszabb zsírsavlánc – magasabb T_m

pl: DMPC (14:0) – 24 °C

DPPC (16:0) – 41,5 °C

DSPC (18:0) – 56 °C



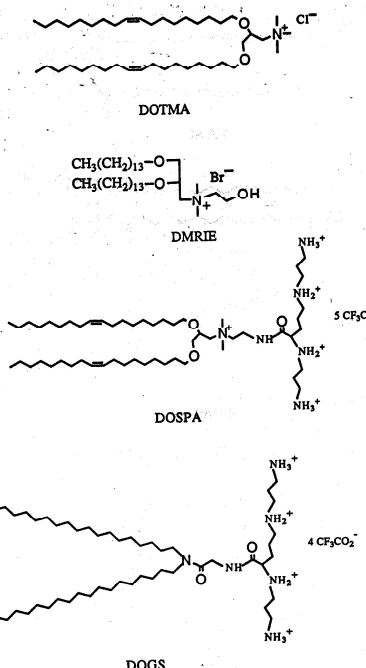
Kettős kötés a zsírsavláncban – alacsonyabb T_m.

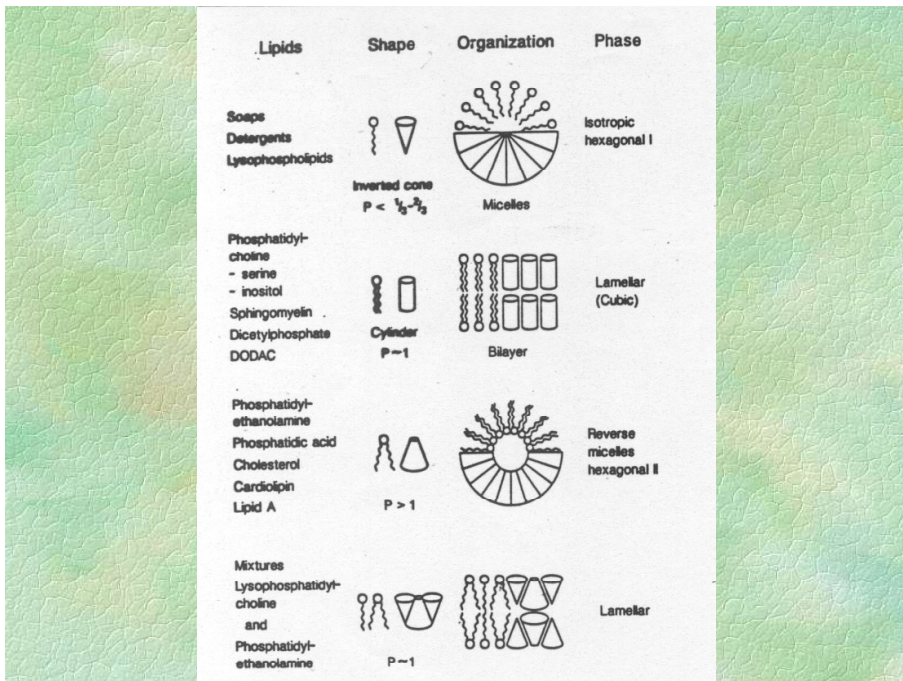
pl: DOPC (18:1) – -27 °C

Keverékek esetén a keverési aránytól
függő köztes érték: pl:

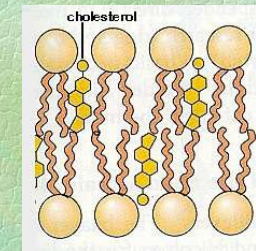
DPPC: DOPC (80:20) – -2 °C

DPPC: DOPC (70:30) – -7 °C

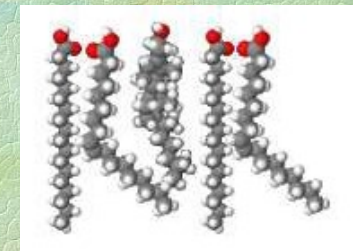




koleszterin (30-50 mol %)



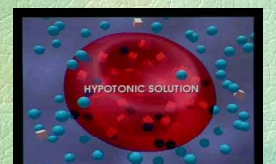
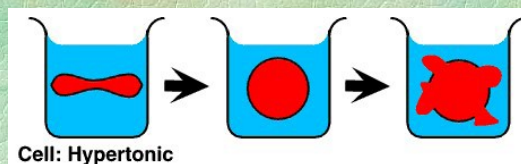
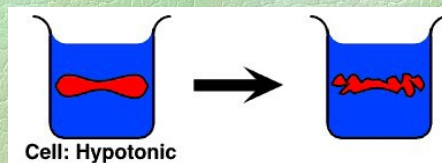
destabilizál



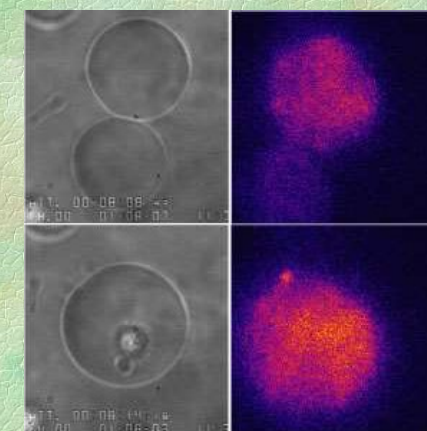
stabilizál

Vizes fázis

- ozmolaritás változása – méretváltozás



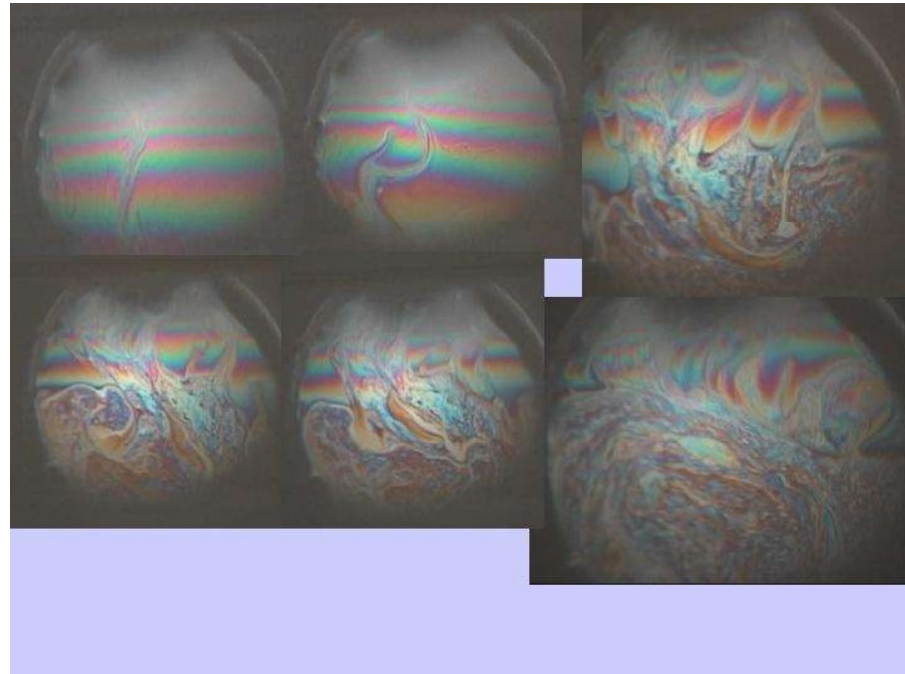
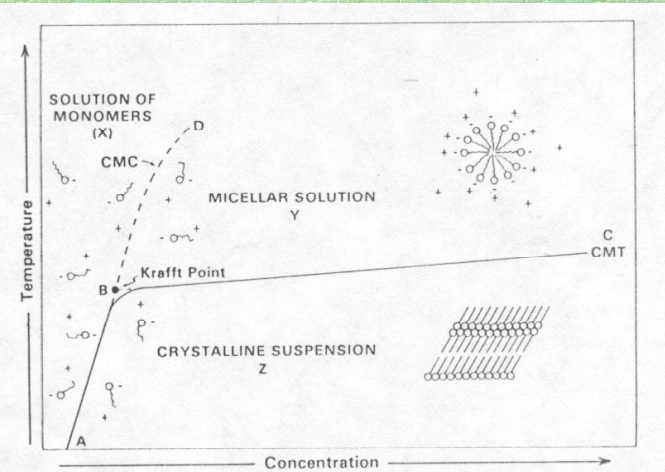
- pH → 6,5 alatt ill. 8,5 felett destabilizál
- kétértékű kationok → aggregálódás, fúzió



Lipid – víz arány

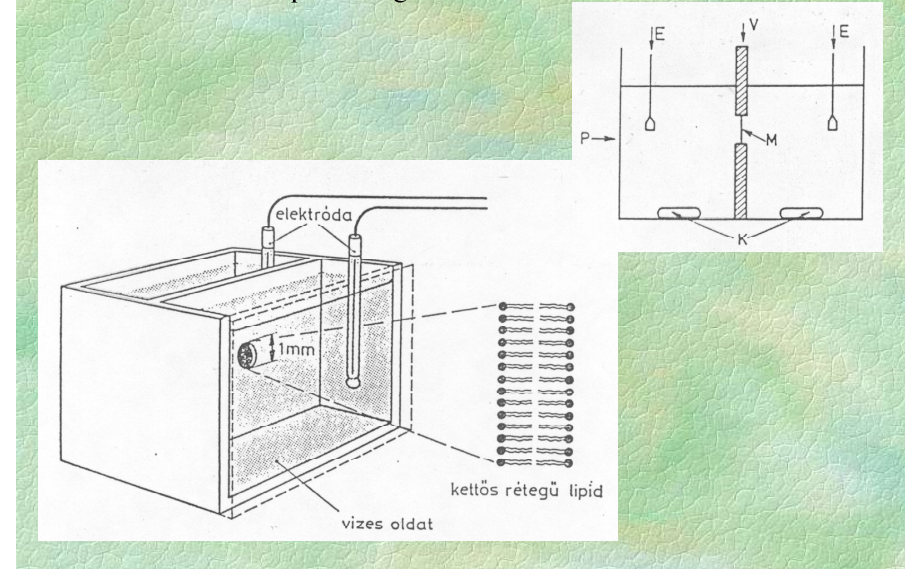
CMC (critical micellar concentration)

CMT (critical micellar temperature)



BLM (bilayer lipid membrane, black lipid membrane)

- a transzport vizsgálatára



Liposzómák

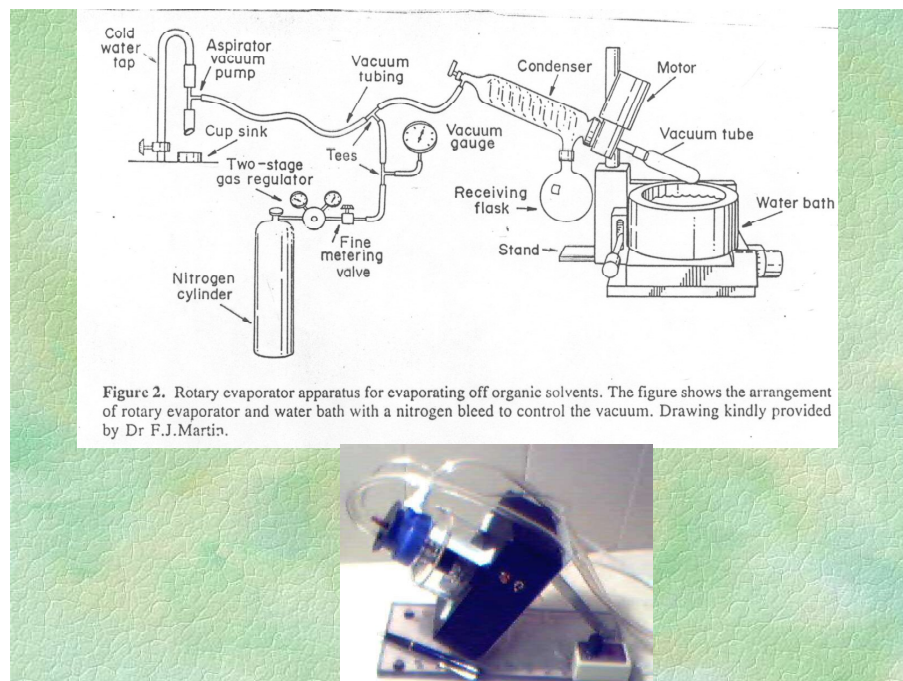
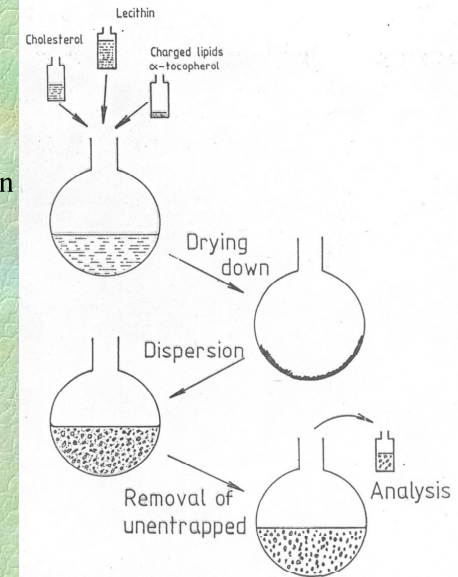
- **MLV** (multilamellar vesicle)
 - a kettősrétegek száma változik
 - széles mérettartomány
 - kis bezárási hatásfok



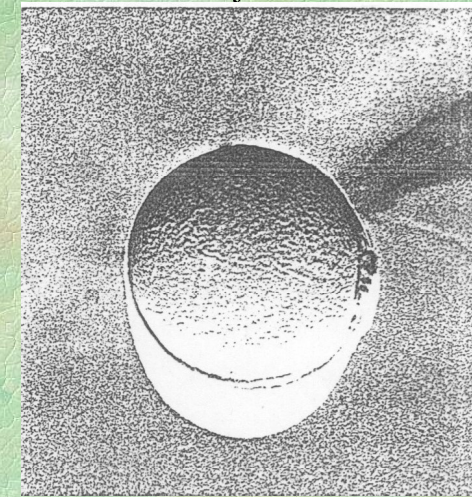
MLV

- előállítása a legegyszerűbb (lipidfilm készítés + vizes fázis hozzáadása)
- fagyasztás (cseppfolyós N_2 -ben
- $T \sim 80\text{ K}$) – felolvastás (T_m fölé)

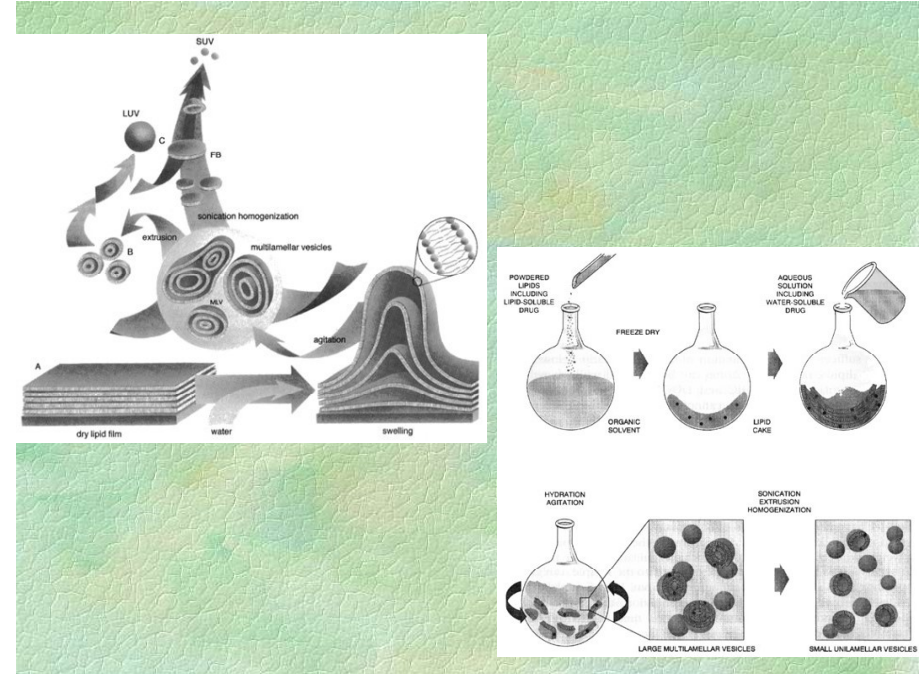
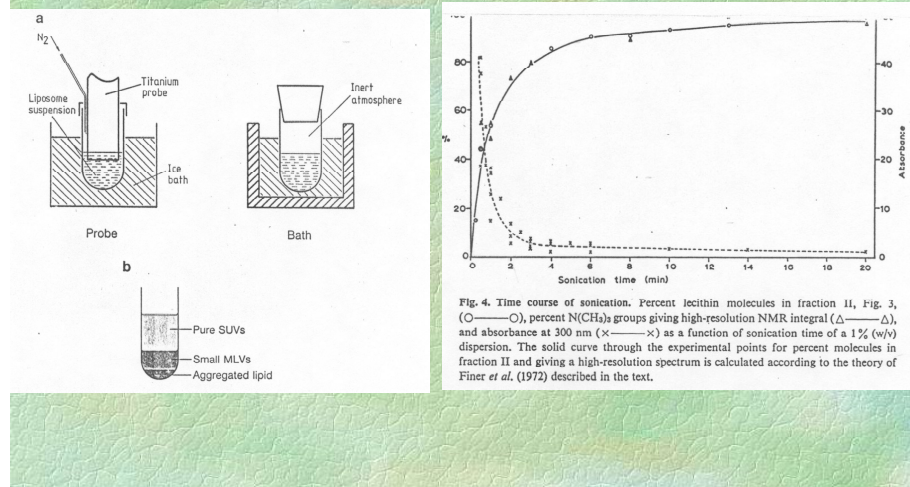
Szűrés: az átmérő és a rétegek száma csökkenhető



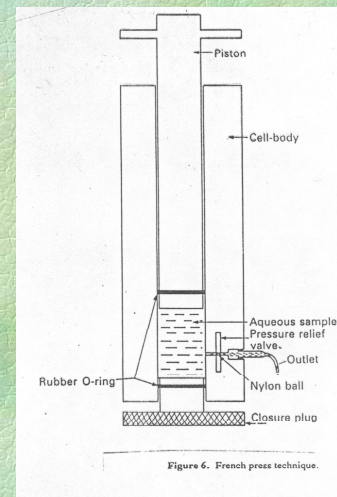
- **SUV** (small unilamellar vesicle)
 - (átmérő: 100 nm alatt, minimum 20-25 nm)
 - kis bezárt térfogat
 - állás során fúzióra hajlamos



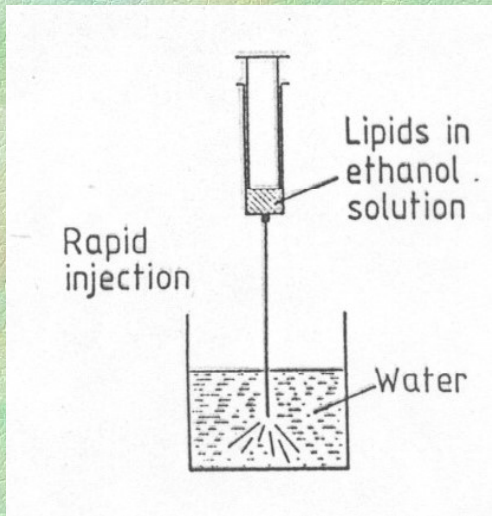
SUV előállítása: - MLV-ből ultrahangozással



SUV előállítása: - MLV-ből French press alkalmazásával



SUV előállítása:
gyors injektálással

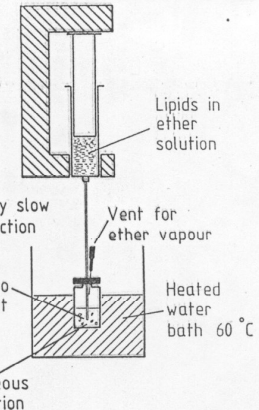


LUV (large unilamellar vesicle)

(átmérő 100 nm – 10 µm)

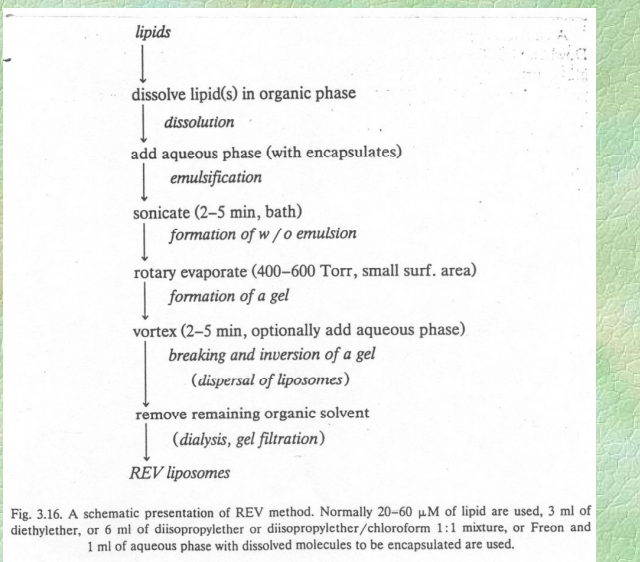
Eloállítása:

- MLV-ból filtrációval
- SUV-ból fúzióval
- lassú injektálással



LUV előállítása:

- fordított fázisú párologtatással

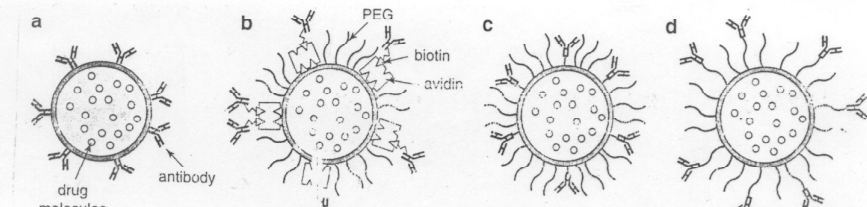


Speciális liposzómák

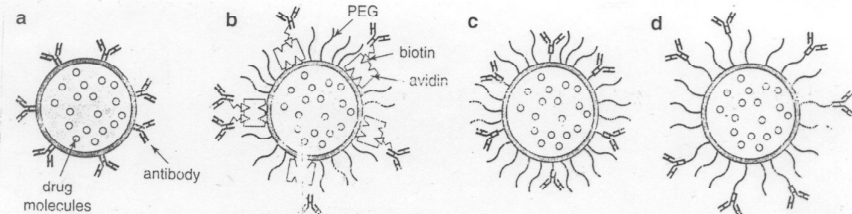
a) Stabilizált („stealth”-S), sokáig keringő liposzómák

A felszínre kötött molekulák (pl. monoszialogangliozid-GM1, polietilénglikol -PEG, glukuronid származékok) elrejtik az immunrendszer elől.

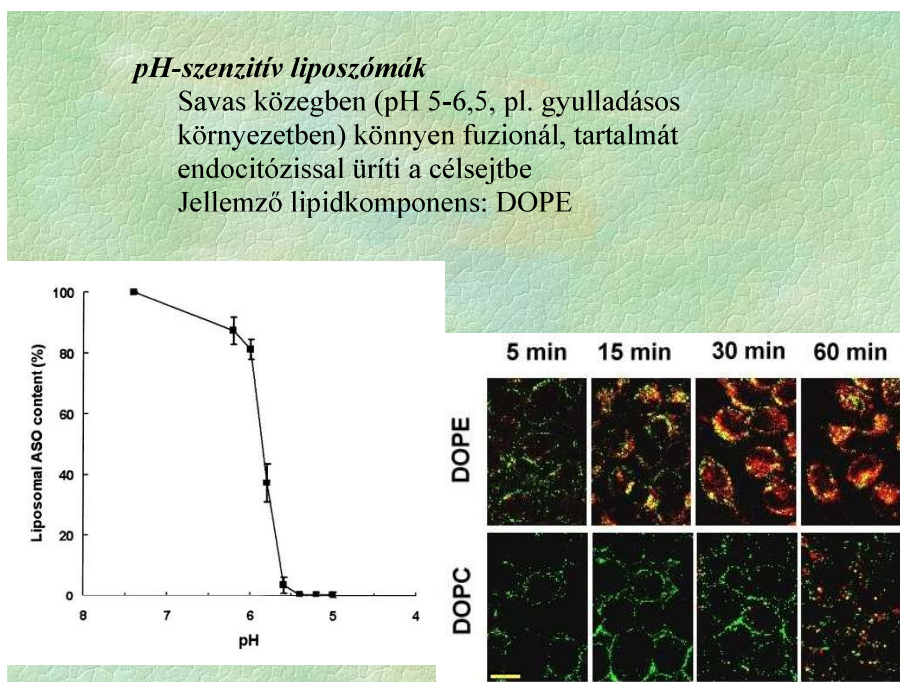
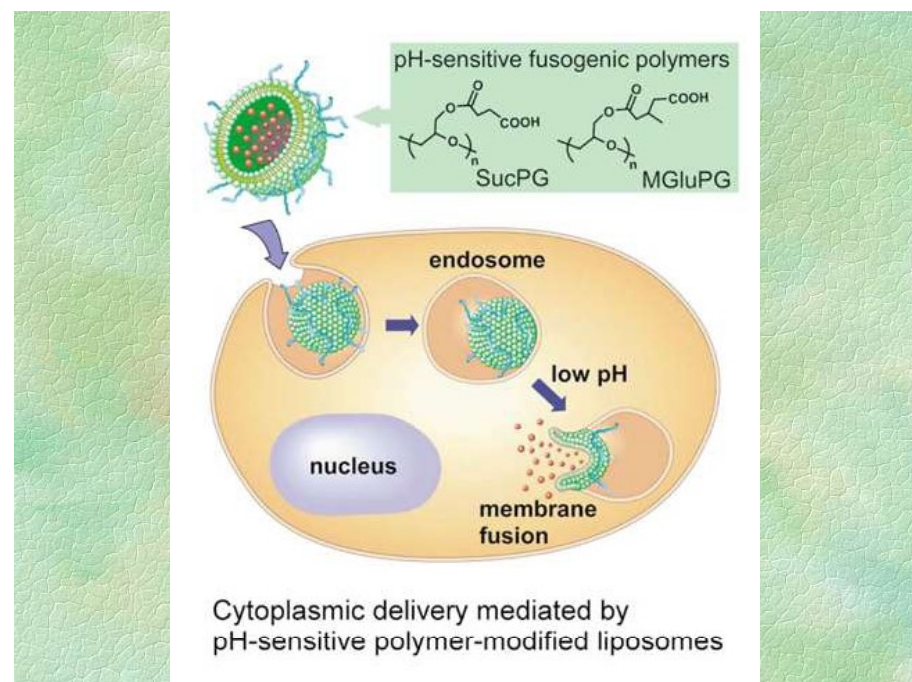
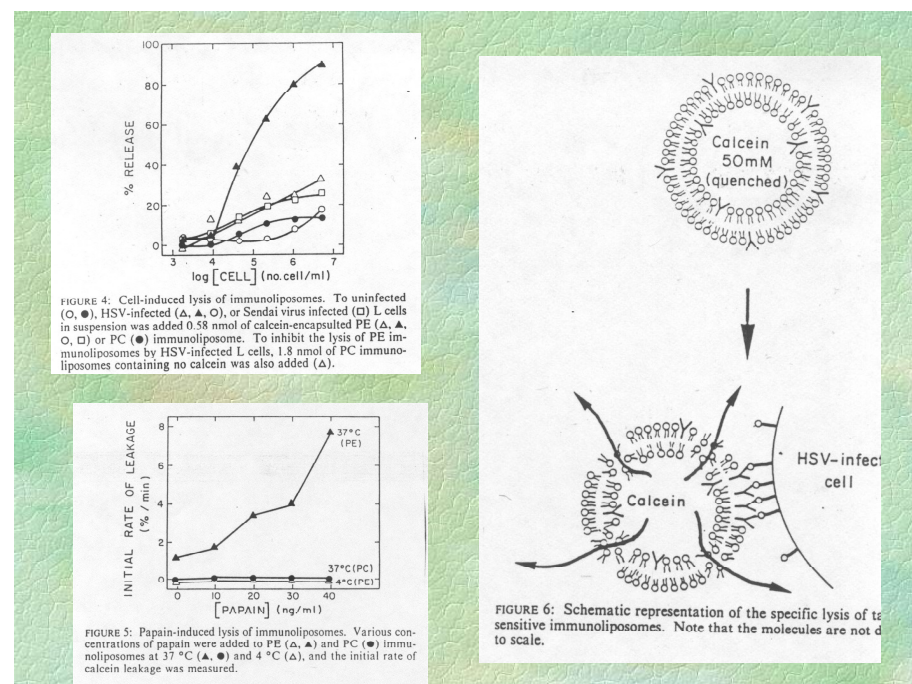
- Telítetlen ill. töltött fejcsoportú lipidek beépítése a liposzómába csökkenti a cirkulációs időt.



Célfelület-szenzitív vagy immunliposzómák – antitestek a liposzóma felszínén → specifikus kötődés a megfelelő antitest-receptort hordozó sejttel. A célfelülethez való kötődés destabilizálja a membránt → kiürülés.



(<http://www.encapsula.com>)



Termoszenzitív liposzómák

T_m kicsivel a testhőmérséklet fölött – lokális hipertermia esetén ürít ki a tartalmát

PI: DPPC/DSPC keverékből készült LUV ($d \sim 200$ nm)

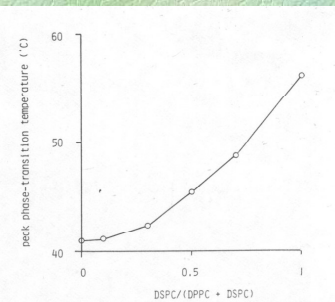


Fig. 1. Peak phase-transition temperatures of DPPC/DSPC mixtures measured by differential scanning calorimetry.

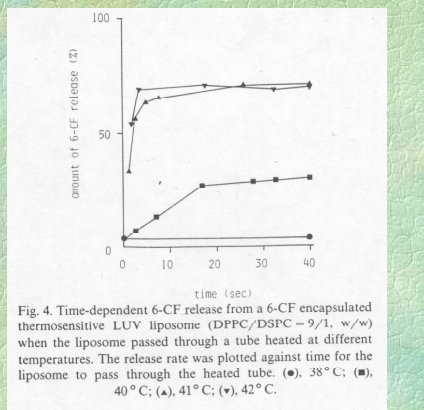


Fig. 4. Time-dependent 6-CF release from a 6-CF encapsulated thermosensitive LUV liposome (DPPC/DSPC = 9/1, w/w) when the liposome passed through a tube heated at different temperatures. The release rate was plotted against time for the liposome to pass through the heated tube. (●), 38°C; (■), 40°C; (▲), 41°C; (▼), 42°C.

Termoszenzitív liposzómák

TABLE 2

Stabilities of a CDDP-encapsulated SUV and a CDDP-encapsulated LUV liposome (DPPC/DSPC = 9/1, w/w) when stored at 4°C and room temperature (RT)

Liposome	Month	4°C	RT
SUV	0	97.5 ^a	—
	1	91.8 ^b	9.2 ^b
LUV	0	98.2	—
	1.5	98.2	95.1
	3	98.2	99.9
	6	97.1	96.3

^a The latencies (%) of the liposomes were used as a measure for liposomal stability. ^b Remarkable coalescence was observed.

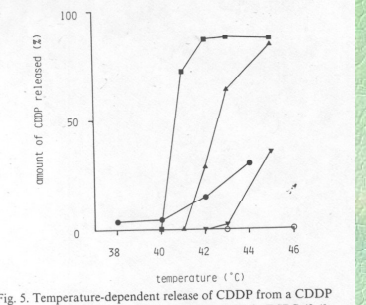


Fig. 5. Temperature-dependent release of CDDP from a CDDP encapsulated SUV liposome composed of DPPC/DSPC (9/1, w/w) and CDDP encapsulated LUV liposomes composed of DPPC/DSPC (9/1, 7/3, 5/5 and 0/10, w/w). The liposomes were diluted with saline by 10 times and incubated in a water bath maintained at constant temperatures for 15 min. The release rate was plotted against incubation temperature. (●), SUV, DPPC/DSPC = 9/1; (○), LUV, DPPC/DSPC = 9/1; (▲), LUV, DPPC/DSPC = 7/3; (▼), LUV, DPPC/DSPC = 5/5; (△), LUV, DPPC alone.

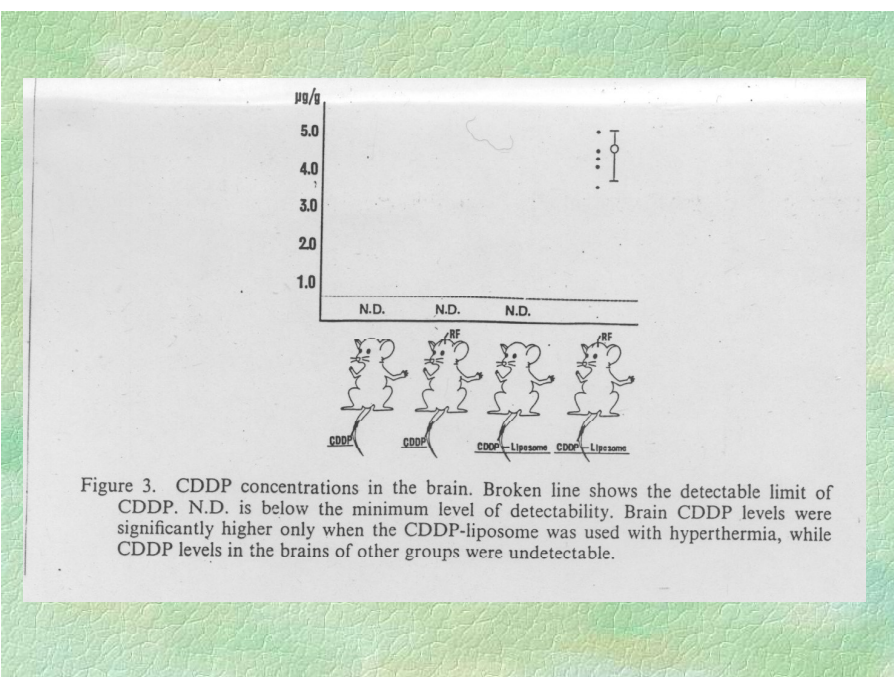


Figure 3. CDDP concentrations in the brain. Broken line shows the detectable limit of CDDP. N.D. is below the minimum level of detectability. Brain CDDP levels were significantly higher only when the CDDP-liposome was used with hyperthermia, while CDDP levels in the brains of other groups were undetectable.

Termoszenzitív liposzómák

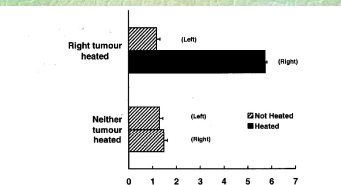


Figure 6. Interstitial of [³H]MTX in tumor interstitium of right and left leg mice 4 h after i.v. injection of liposome-encapsulated [³H]MTX. In the top experiment only the right leg tumour was heated. In the bottom experiment, neither the right nor the left leg tumours were heated. (Modified with permission from Weinstein, J. N. et al., 1979, Liposomes and local hyperthermia: selective delivery of methotrexate to heated tumors. *Science*, **204**, 188–191. Copyright 1979 American Association for the Advancement of Science.)

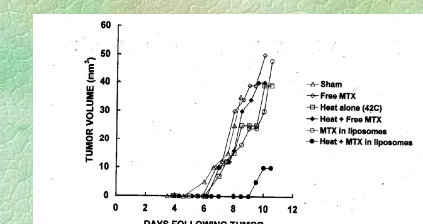


Figure 7. Li1310 tumor growth in mice, free and liposome-encapsulated MTX with or without heating to 42°C. Shams were given anaesthesia only. (Modified from Weinstein et al. 1980 with permission.)

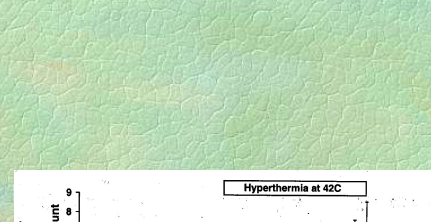


Figure 2. Extravasation of liposomes at 42°C in the tumor interstitium. The tumor was maintained at 34°C for 1 h and then heated at 42°C for another hour. Relative interstitial amount is the amount of liposomes in the tumor interstitium normalized to an initial vascular concentration of liposomes. (Modified from *International Journal of Radiation Oncology, Biology, Physics*, 36, M. H. Gaber, N. Z. Wu, K. Hong, K. H. Shi, M. W. Dewitt, D. Papahadjopoulos, Thermosensitive liposomes: extravasation and release of contrast media in tumor interstitium networks, pp. 1177–1187, Copyright 1996, with permission from Elsevier Science.)

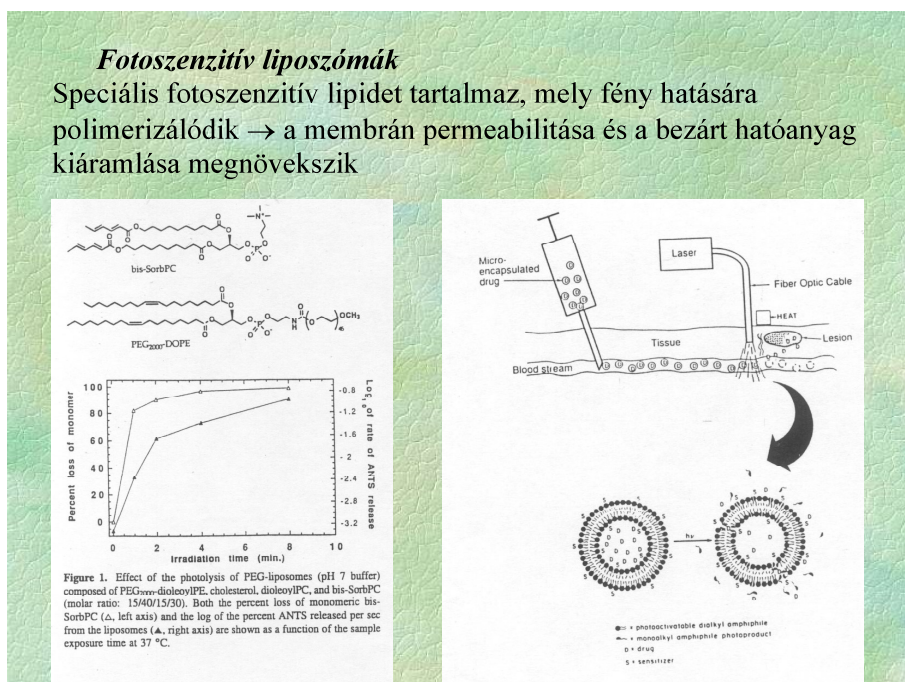
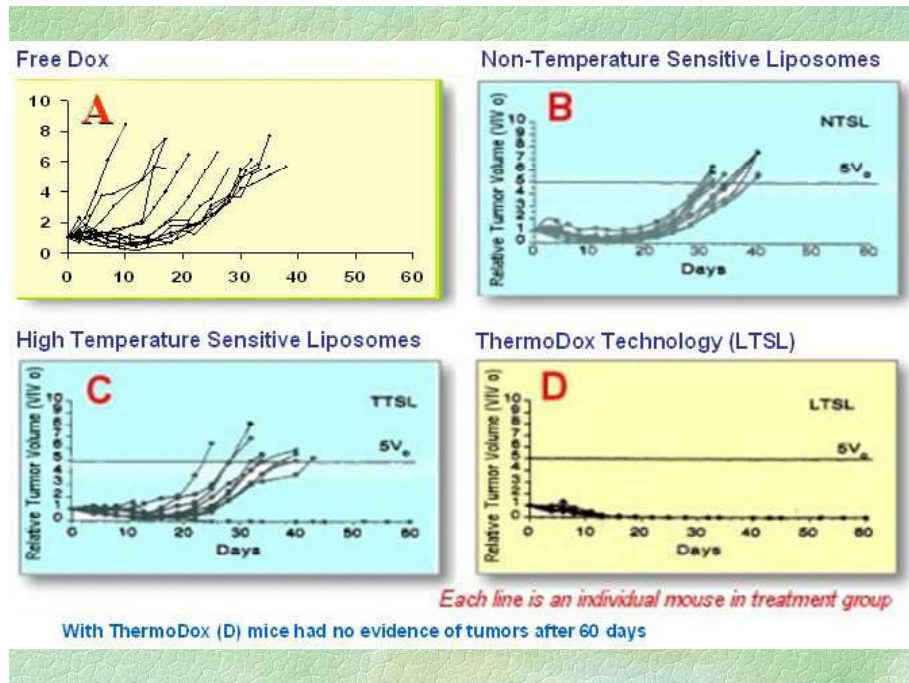
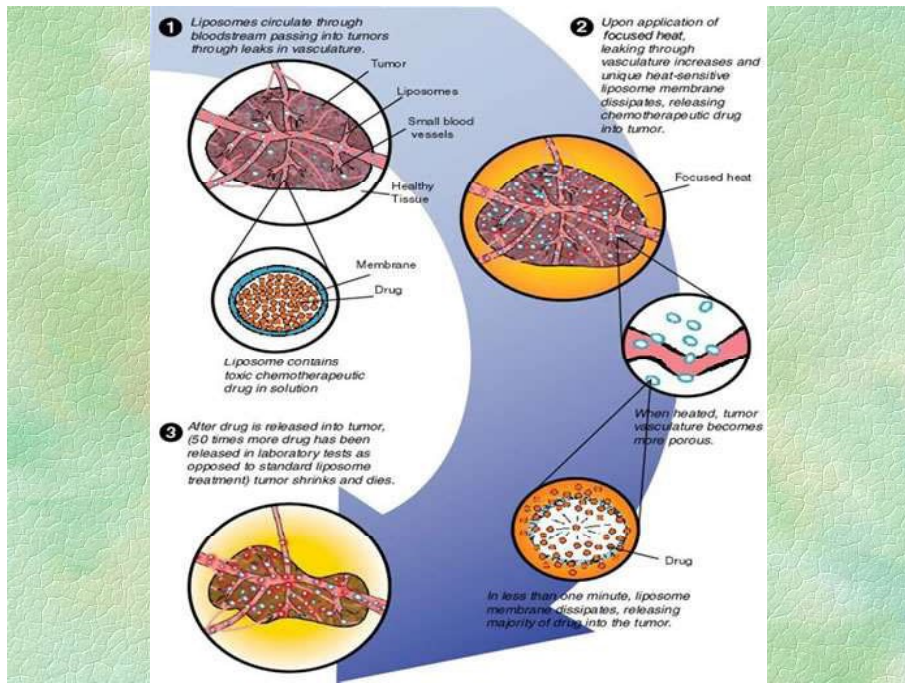
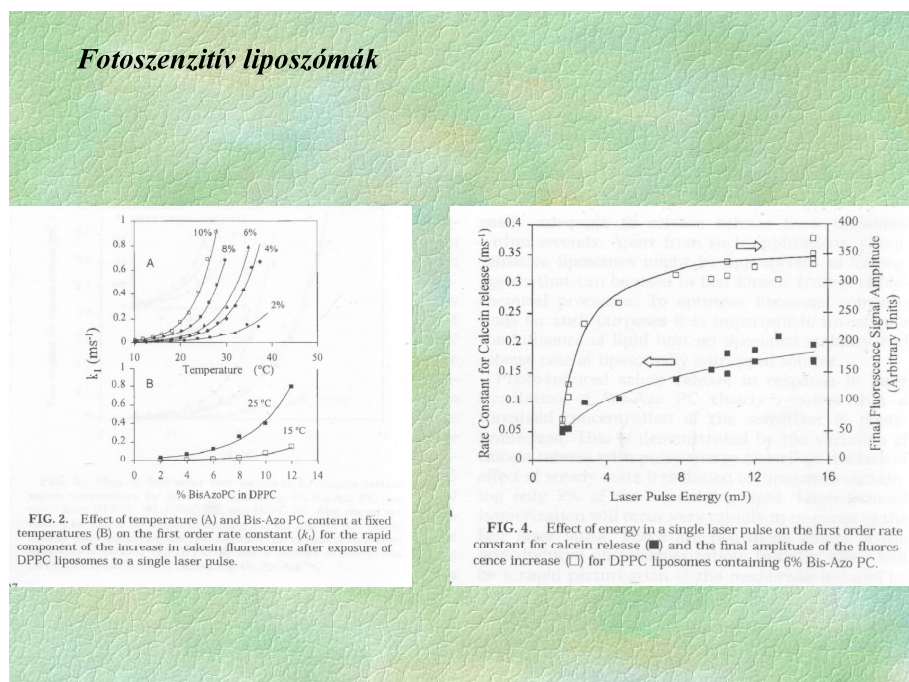
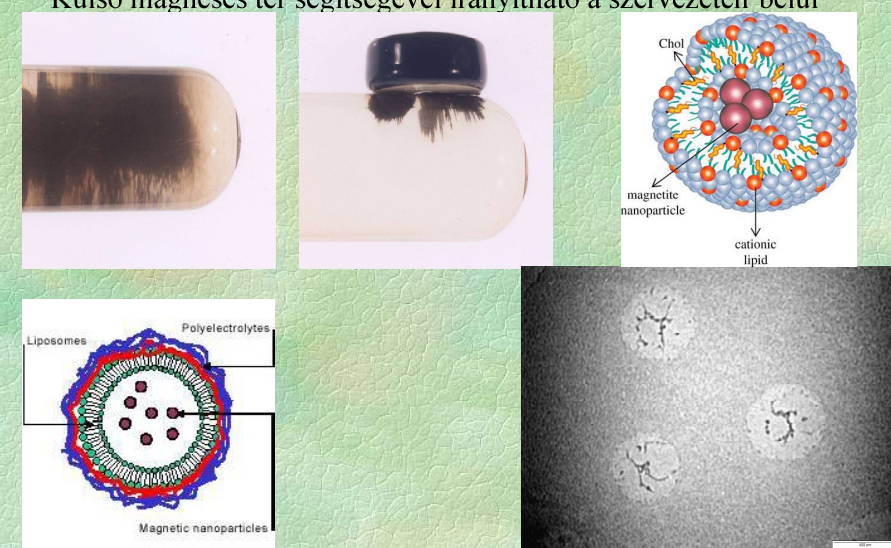


Figure 1. Effect of the photolysis of PEG-liposomes (pH 7 buffer) composed of PEG_n-dioleylPE, cholesterol, dioleylPC, and bis-SorbPC (molar ratio: 15/4/0/1/30). Both the percent loss of monomeric bis-SorbPC (▲, left axis) and the log of the percent ANTS released per sec from the liposomes (▲, right axis) are shown as a function of the sample exposure time at 37 °C.



Mágneses liposzómák

A liposzómába paramágneses anyagot építenek be (pl. vas-oxid)
Külső mágneses tér segítségével irányítható a szervezeten belül



Mágneses liposzómák

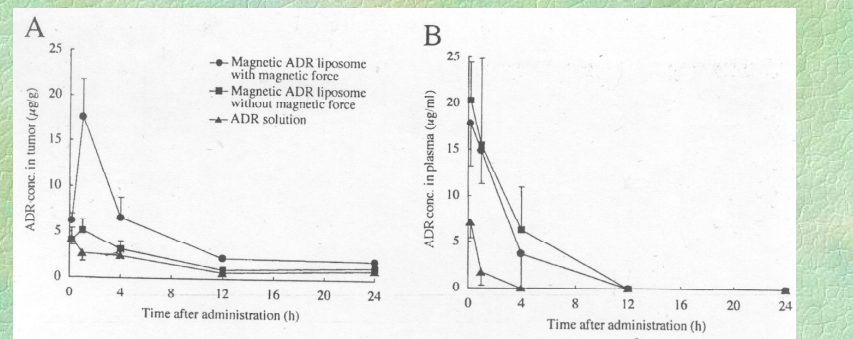
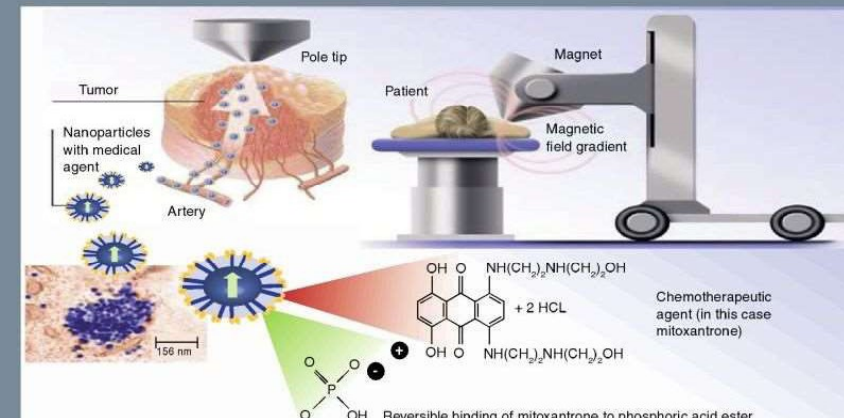


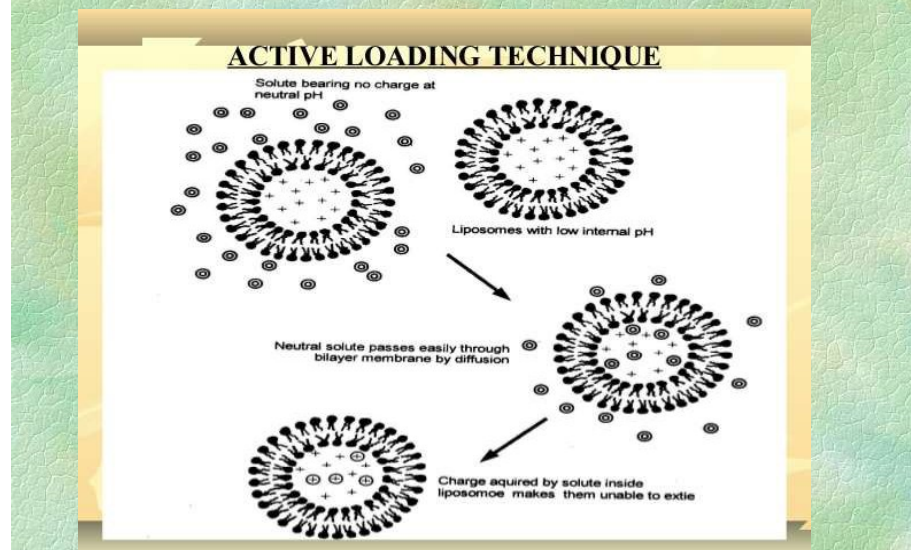
Figure 4. Time course of ADR concentrations in A, tumor; B, plasma; C, liver; D, lung; E, heart; F, kidney following intravenous administration of ADR preparations via different administration modalities in osteosarcoma-bearing hamsters. Hamsters were studied 7 days after inoculation of osteosarcoma (tumor size was approximately 10 mm in diameter). The dose of ADR was fixed at 5 mg/kg body weight. One day prior to the animal study, a magnet with a magnetic field strength of 0.4 tesla was implanted in tumors in the magnetic ADR liposome group with magnetic force and in the ADR solution group. A non-magnetic neodymium alloy was also implanted in tumors in the magnetic ADR liposome group without magnetic force. Each value represents the mean \pm SD of 4 trials.

Medscape



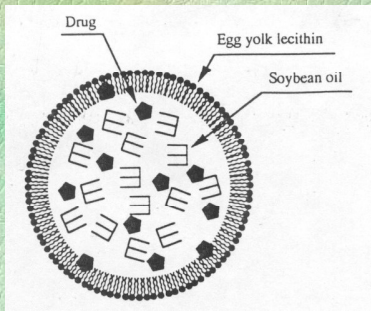
Source: Nanomedicine © 2009 Future Medicine Ltd

Speciális módszer a hatóanyag nagy arányban történő liposzómába zárasára: aktív töltés (active loading)



Lipid mikroszférák

- lipid monolayer ($d = 200 - 300 \text{ nm}$)
- lipofil molekulák zárhatók be
- vízben és zsírban is rosszul oldódó molekulák a lecitin rétegen tartózkodhatnak
- nem alkalmas hidrofil molekulák szállítására

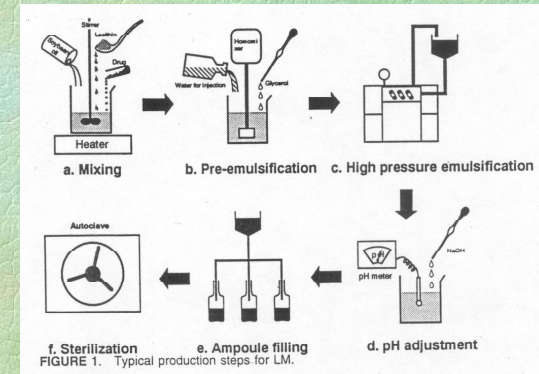


Typical Components for LM

Soybean oil	50 ~ 200 mg
Egg yolk lecithin	12 ~ 18 mg
Glycerol	22 ~ 25 mg
Cosurfactant ^a	
NaOH	Adjusted to 5 ~ 7 of pH
Water for injection	Adjusted to 1 ml

^a Fatty acid such as oleic acid.

Lipid mikroszférák



Commercially Available LM for DDS

LM	Drug	Content	Company
Limethason	Dexamethasone palmitate	4.0 mg	Green Cross
Liple	Prostaglandin E ₁	10 µg	Green Cross
Palux	Prostaglandin E ₁	10 µg	Taisho
Lipfen	Flurbiprofen axetil	50 mg	Green Cross
Ropion	Flurbiprofen axetil	50 mg	Kaken

